

دکتر ربابه رضائی پور*

روش جدید ایمونوفلورسانس در فاز مایع

مقدمه

ذر حضور ایمونوگلوبولین‌های طبیعی و یاد ر حضور پروتئین‌های سرم از قبیل آلبومین حاصل نشد . که این امر اختصاصی بودن این روش را به انتبات می‌رساند . با توجه به اینکه برای مطالعه‌ء ایمنی شناختی هاپتن‌ها استفاده از یک روش حساس و اختصاصی بسیار ضروری است و روشهایی که تاکنون ابداع شده‌اند علیرغم تنوع بسیار (۱، ۳ و ۵) از حساسیت، اختصاصی بودن و سادگی کافی برخوردار نیستند لذا روش ایمونوفلورسانس در فاز مایع با داشتن این توانایی‌ها در ایمنی شناسی عملی برای مطالعه‌ء هاپتن‌ها و نیز در تشخیص بیماری‌هایی مانند لوپوس و بیماری‌های روماتوئیدی از اهمیت ویژه‌ای برخوردار می‌شود .

سنتز نوکلئوتیدهای فلورسان

با توجه به مزایای یک روش فلورسان ، روش ایمونوفلورسانس در محیط مایع برای سنجش پادتن‌های ضد اسیدهای

هدف این مقاله معرفی روش جدید ایمونوفلورسانس در فاز مایع است که قبل ا" توسط نویسنده‌ء این مقاله انجام یافته است (۶) . در این روش برای اندازه‌گیری و مطالعه‌ء دقیق آنتی‌بادی‌های ضد نوکلئوتیدی، ابتدا نوکلئوتیدهای فلورسان سنتز شد . بدین منظور یک ماده‌ء فلورسانس زا (آمینوفتالین سولفونیک اسید AmNS) به طریق کووالان (Covalant) به مشتقات مختلف نوکلئوتیدها در حضور کربوکسی‌آمید (Carbodiimide) متصل گردید . کوآنتم نوری حاصل (Φ) از این نوکلئوتیدهای فلورسان در محیط مایع و در pH خنثی حدود ۲۵-۴۶ مدرصد محاسبه شد . این در حالی بود که طول موج جذبی نور توسط این نوکلئوتیدهای فلورسان برابر ۳۲۰ نانومتر، و طول موج دفعی نور (فلورسانس زایی) برابر ۴۶۰ نانومتر بود . کوآنتم نوری حاصل از این نوکلئوتید‌ها پس از افزودن آنتی‌بادی‌های همگن (هومولوگ) افزایش قابل توجهی نشان داد . این افزایش در قدرت فلورسانس زایی

* استادیار گروه میکروبیولوژی دانشکده پزشکی دانشگاه علوم پزشکی شهید بهشتی .

نوکلئوتید به طریق کوالان متصل می‌گردد و کونژوگه حاصل می‌شود. اتصال AmNS به نوکلئوتید الزاماً از گروه فسفات انتهایی نوکلئوتیدها صورت می‌گیرد، زیرا هنگامی که دی-نوکلئوتیدهای GPA و TPG به کاربرده شد مزدوج سازی صورت نگرفت.

برای خالص نمودن کونژوگه‌های مختلف، روش (Thin Layer Chromatography) TLC با استفاده از صفحه‌های کروماتوگرام حامل سیلیکاژل مورد استفاده قرار گرفت. حال مورد استفاده در این روش اثanol ۹۵ درصد و اسات بست سدیم (یک مولار) به نسبت حجمی ۷۰ به ۳۰ بود. نتایج حاصل از خالص ساری کونژوگه‌های مختلف و ضرایب Rf مربوط به آنها در جدول ۱ خلاصه شده است.

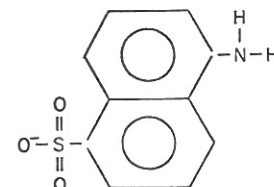
محاسبه نسبت مولکولی AmNS و نوکلئوتید در یک

کونژوگه (Stoichiometry): جهت تعیین تعداد مولکول نوکلئوتید متصل شده به یک مولکول AmNS بر اثر مزدوج-ساری، کونژوگه‌های AmNS با نوکلئوتیدهای منو، دی و تری فسفات به وسیله آنزیم مخصوص سمار (فسفودی استراز I) تجزیه گردید. این آنزیم یک اگزونوکلئاز است که نوکلئوتیدها را از مشتقان مختلف مثل اسید ریبونوکلئیک‌ها و دزاکسی ریبونوکلئیک‌ها و غیره جدا می‌سازد (۲ و ۴). مواد حاصل از تجزیه آنزیمی به وسیله اسپکتروفوتومتری و TLC مورد مطالعه قرار گرفت و مقدار منورهای آزاد شده از هر کونژوگه از روی OD* نوکلئوتیدها در ۲۶۵ نانومتر و AmNS در ۳۳۰ نانومتر محاسبه شد. نتایج به دست آمده از تجزیه آنزیمی نشان داد که هر کونژوگه مشکل از یک مولکول نوکلئوتید و یک مولکول AmNS است (جدول ۲).

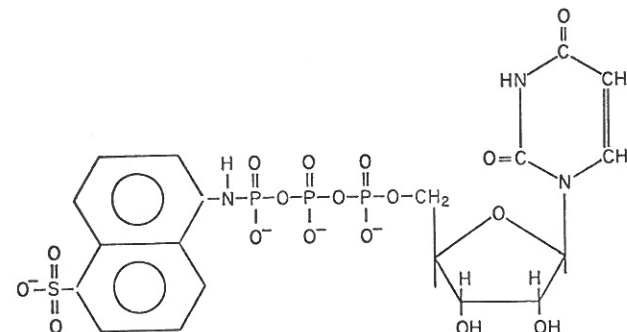
با توجه به نتایج حاصل از TLC و اسپکتروفوتومتری این طور به نظر می‌رسد که AmNS-UMP بر اثر تجزیه آنزیمی به اجزای AmNS و UMP؛ AmNS-UDP؛ UMP به اجزای AmNS، UMP و بالاخره AmNS-UTP به اجزای AmNS-PPI و UMP-Pi تجزیه می‌شوند (جدول ۲).

با انجام نشدن عمل مزدوج شدن یا عدم کونژوگاسیون نوکلئوتید‌یوریدین با AmNS و همچنین UTP با نفتیل‌سولفات (بدون گروه آمینی) مشخص می‌شود که پیوند کوالان بین AmNS و نوکلئوتیدها از طریق گروه آمینی موجود در AmNS و گروه

نوکلئیک و نوکلئوتیدها تکوین یافت که می‌تواند با تغییراتی جهت بررسی بسیاری از واکنش‌های ایمنی شاختی، بخصوص بررسی هاپتن‌های مختلف مورد استفاده قرار گیرد. مکابیسم کلی در تکوین این روش جدید به کاربردن یک ماده فلورسان با ΦF مختصر در فاز مایع است که در حضور پادتن اختصاصی کوآنتم نوری آزاد شده افزایش چشمگیری یابد. مشتفات نفتیل، از جمله مواد فلورسان هستند که کمی دارند، بنابراین، یکی از این مشتفات (AmNS) معادل ۲۵ درصد در فاز مایع داشت انتخاب (۸) و به طریق کوالان به گروه فسفات انتهایی نوکلئوتیدهای در حضور کربو-دی‌آمید متصل شد. این مزدوج ساری (کونژوگاسیون) با نوکلئوتیدهای منو، دی و تری فسفات نیز انجام گرفت.



AmNS



AmNS-UTP

شکل ۱

در شکل ۱، نحوه اتصال ماده فلورسان به یک نوکلئوتید نشان داده شده است. همان طور که در این شکل ملاحظه می‌شود گروه آمینه موجود در AmNS با فسفات انتهایی

OD^* = Optical Density * تعداد جذب نور

جدول - ۱ . اختصاصات کونژوگه‌های مختلف ، AmNS و نوکلئوتیدها

RF ضریب	سلولز سیلیکاژل	ماکزیم طول موج دفعی نور (نانومتر) Emission	ماکزیم طول موج جذبی (نانومتر) λ_{max}	مواد شیمیائی
۰/۰۶	۰/۳	۴۶۰	۳۲۰	AmNS UTP
۰/۱	۰/۵	۴۶۰	۳۲۰	AmNS UDP
۰/۲	۰/۷	۴۶۰	۳۲۰	AmNS UMP
۰/۱	۰/۶	۴۶۰	۳۲۰	AmNS TDP
۰/۰۷	۰/۴	۴۶۰	۳۲۰	AmNS GDP
۰/۰۹	۰/۵	۴۶۰	۳۲۰	AmNS CDP
۰/۰۷	۰/۵	۴۶۰	۳۲۰	AmNS ADP
۰/۷	۰/۸	۵۱۵	۳۳۰	AmNS
۰/۰۶	۰/۰۵*	-	-	UTP
۰/۰۶	۰/۰۸*	-	-	UDP
۰/۲	۰/۳*	-	-	UMP
۰/۱	۰/۱*	-	-	TDP
۰/۰۷	۰/۰۸*	-	-	GDP
۰/۰۹	۰/۰۸*	-	-	CDP
۰/۰۷	۰/۰۱*	-	-	ADP

* این ضرایب با استفاده از سیلیکاژل حاوی مواد فلورسان محاسبه شده است .

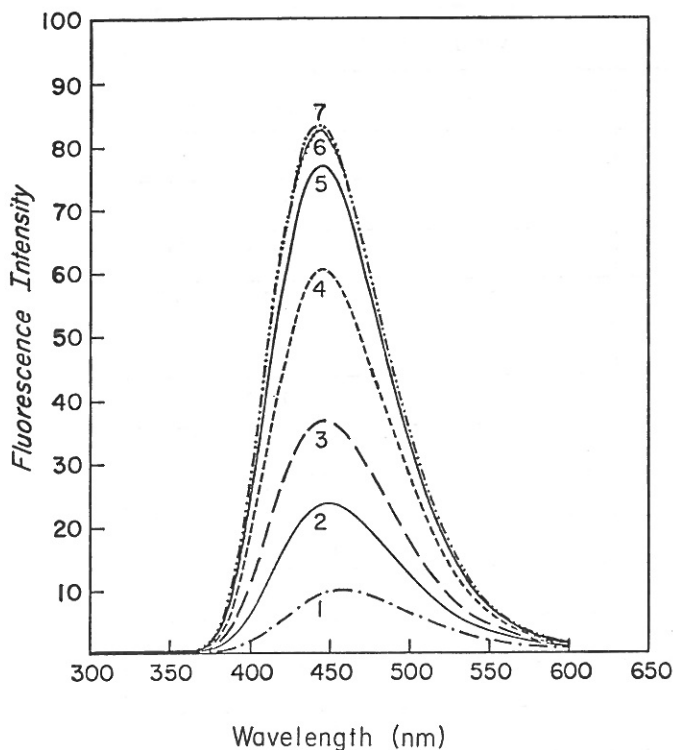
جدول - ۲ . اختصاصات و نسبت مولکولی اجزای موجود در کونژوگه‌های مختلف بر اثر تجزیه فسفودیامتراز I

مولکول آزاد شده پس از تجزیه آنزیمی	نوكلئوتید	حداکثر طول موج جذبی		حداکثر طول موج جذبی		RF	کونژوگه
		قبل از تجزیه	بعد از تجزیه	قبل از تجزیه	بعد از تجزیه		
۲/۱×۱۰⁻۷	AmNS	۵۱۵	۴۶۰	۲۶۰۰،۳۳۰	۳۲۰	۰/۸۴۰۰/۲۲	AmNS - UMP
۲/۲×۱۰⁻۷	نوكلئوتید	۵۰۰	۴۶۰	۲۶۰۰،۳۳۰	۳۲۰	۰/۸۲۰۰/۲۳	AmNS - UDP
۱/۶×۱۰⁻۷	۲/۲×۱۰⁻۷	۴۸۵	۴۶۰	۲۶۰۰،۳۳۰	۳۲۰	۰/۸۰۰۰/۲۰	AmNS - UTP

بررسی واکنش بین پادتن و نوکلئوتیدها با استفاده از روش ایمونوفلورسانس در فاز مایع

بر اثر اتصال کونژوگه نوکلئوتید AmNS با پادتن همگن (هومولوگ) و اختصاصی علیه قسمت نوکلئوتیدی یک کونژوگه، افزایش قابل ملاحظه‌ای در قدرت فلورسانس زایی

فسفات نوکلئوتیدها صورت می‌گیرد. عدم انجام کونژوگاسیون بین AmNS و TPG و GPA ثابت می‌کند که در هر عمل مزدوج شدن وجود گروه فسفات انتهایی لازم است . پس به طور کلی برای اینکه عمل مزدوج شدن صورت گیرد وجود گروه آمینی در AmNS و فسفات انتهایی در نوکلئوتیدها ضروری است.



شکل ۰۲ . عیار AmNS-UMP با پادتن اختصاصی علیه UMP منحتی ۱ طیف دفعی نور توسط 6×10^{-8} میلی مولار AmNS UMP را در یک میلی لیتر PBS، pH= ۸ و در غیاب پادتن و پس از جذب نور در ۳۲۵ نانومتر نشان می دهد. منحتی های ۲ تا ۷ افزایش قدرت فلورسانس سازی - AmNS UMP را پس از افزایش مقادیر فزاينده ای از پادتن ضد UMP به ترتیب از ۲۸٪ تا ۲/۸ میلی گرم، نشان می دهد.

Phosphate Buffer Saline

بحث

به منظور تکوین روش جدید ایمونوفلورسانس با حساسیت و دقت مناسب، نوکلئوتید های فلورسان با اتصال کووالانتی AmNS به نوکلئوتید ها در حضور کربودی آمید سنتز شد. تجزیه کونژوگه حاصل از چین سنتزی با فسفودی استراز نشان داد که هر کونژوگه از یک مولکول AmNS و یک مولکول نوکلئوتید حاصل شده است. سعی در مردوج سازی

نوکلئوتید های فلورسان مشاهده شد که این افزایش نسبت مستقیم با غلظت پادتن اختصاصی داشت (شکل ۰۲). پادتن های مصرف شده در روش ایمونوفلورسانس یا به صورت گاما گلوبولین های تغلیط شده و یا به شکل IgG خالص شده بود. افزایش در قدرت فلورسانس زایی یک واکنش کاملاً "اختصاصی بود، زیرا گاما گلوبولین های طبیعی، IgG آلبومین خرگوش و گاو و IgG خرگوش هایی که با پادتن های دیگری غیر از نوکلئوتیدها ایمن (ایمونینزه) شده بودند، هیچ گونه اثری در افزایش فلورسانس زایی کوژوگه و یا AmNS به تنهایی نداشتند. از این افزایش در قدرت فلورسانس زایی که حاصل یک واکنش کاملاً "اختصاصی بین پادتن و قسمت نوکلئوتیدی یک کونژوگه است در واکنش های رقبابتی با استفاده از نوکلئوتید های غیر فلورسان ممانعت به عمل آمد. به عنوان مثال و مطابق شکل ۰۳، واکنش بین پادتن ضد UMP و کونژوگه AmNS-UMP با استفاده از نوکلئوتید های مختلف در غلظت های فرا یnde در واکنش های رقبابتی مورد مطالعه قرار داده شد و هنگامی که نوکلئوتید UMP به عنوان ماده رقبابت کننده به کاربرده شد افزایش قدرت فلورسانس زایی به حداقل رسید. نوکلئوتید TMP حداکثر واکنش تقاطعی cross reaction را با مولکول پادتن که علیه UMP تولید شده بود نشان داد (شکل ۰۳).

مقایسه کونژوگه های حاصل از مشتقات مختلف یوریدین به منظور بررسی نقش گروه فساعته به عنوان ماده حد فاصل spacer effect بین AmNS و نوکلئوتید و نیز تغییر دادن این فاصله و بررسی این تغییرات در افزایش قدرت فلورسانس زایی در حضور پادتن اختصاصی نوکلئوتید، کونژوگه های مختلفی با AmNS و مشتقات منو، دی و تری فسفات یوریدین سنتز شد. در مطالعات اسپکتروفوتومتری، هر سه کونژوگه حداکثر طول موج جذبی برابر ۳۲۰ نانومتر و دفعی حدود ۴۶۰ نانومتر را در غیاب پادتن ظاهر ساختند. حال آنکه در حضور پادتن اختصاصی، طول موج دفعی در کونژوگه های مختلف متفاوت بود (جدول ۰۴). به عنوان مثال در مورد هر سه کونژوگه محاسبه شد (۶). به عنوان مثال در برای AmNS-UTP و AmNS-UDP به ترتیب ۱۲ و ۱۲ * EF متغراوت بود (جدول ۰۴).

* Quantum yield enhancement factor (Φ_{EF}) یا حداکثر قدرت فلورسانس زایی (حداکثر کوانتم نوری آزاد شده)

جدول ۴. مقایسه کونژوگه‌های حاصل از مشتقات مختلف یوریدین با AmNS

Φ_{B^*}	Φ_{EF}	حداکثر طول موج دفعی نور در کونژوگه در حضور پادتن (نانومتر)	Φ_F	حداکثر طول موج دفعی نور در کونژوگه (نانومتر)	حداکثر طول موج جذبی λ_{max} (نانومتر)	Rf	نوکلئوتیدهای فلورسانسی
۰/۳	۱۲	۴۶۰	۰/۰۲۵	۴۶۰	۳۲۰	۰/۳۱	AmNS - UTP
۰/۴۲	۱۷	۴۵۵	۰/۰۲۵	۴۶۰	۳۲۰	۰/۵۲	AmNS - UDP
۰/۸۷	۳۵	۴۴۰	۰/۰۲۵	۴۶۰	۳۲۰	۰/۲۵	AmNS - UMP

* کوتیوم نوری حاصل از کونژوگه در حضور پادتن همگن

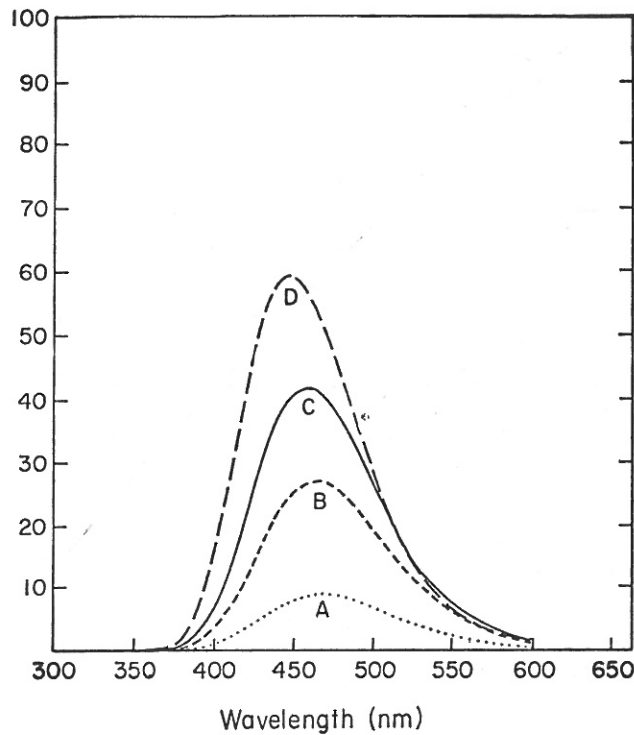
ثابت نمود هنگامی که AmNS به نوکلئوتید و در نتیجه به مولکول پادتن نزدیکتر شود، قدرت فلورسانس زایی کونژوگه افزایش می‌یابد . به عنوان مثال در مورد کونژوگه – AmNS - بر اثر اتصال مولکول پادتن اختصاصی، چون از AmNS از مولکول پادتن با فاصله، بیشتری سدر مقایسه با کونژوگه‌های گروه فسفات (شکل ۷)، بنابراین Φ_B کمتری در مقایسه با دو کونژوگه فوق دارد . مکانیسمی که سبب افزایش قدرت فلورسانس زایی می‌شود احتمالاً "انتقال انرژی حاصل از تریپتوфан موجود در مولکول پادتن است که با فاصله بین دو مولکول نسبت عکس دارد (۷) . ماکریم طول موج دفعی نور توسط مولکول‌های تریپتوfan برابر ۳۵۰ نانومتر است که تقریباً نزدیک به ماکریم طول موج جذبی نور توسط مولکول AmNS می‌باشد . در نتیجه انرژی نورانی حاصل از تریپتوfan توسط AmNS جذب می‌گردد و این انرژی کسب شده در طول موجهای بالاتر (۴۶۰ نانومتر) مجدداً به شکل نور به خارج پس داده می‌شود (عمل فلورسانس زایی) .

به طور خلاصه روش جدید ایمونوفلورسانس در فاز مایع با استفاده از نوکلئوتیدهای فلورسان ثابت نمود که یک روش حساس برای بررسی پادتن‌های ضد نوکلئوتیدی و یا مولکول‌های هاپتی خواهد بود که به طریق شیمیایی به ماده فلورسان AmNS متصل شده باشد . نوکلئوتیدهای فلورسان در مطالعات ایمنی شناسی، بیوشیمیایی و ژنتیک نیز می‌توانند کاربرد فراوان داشته باشند (۹ و ۱۰) .

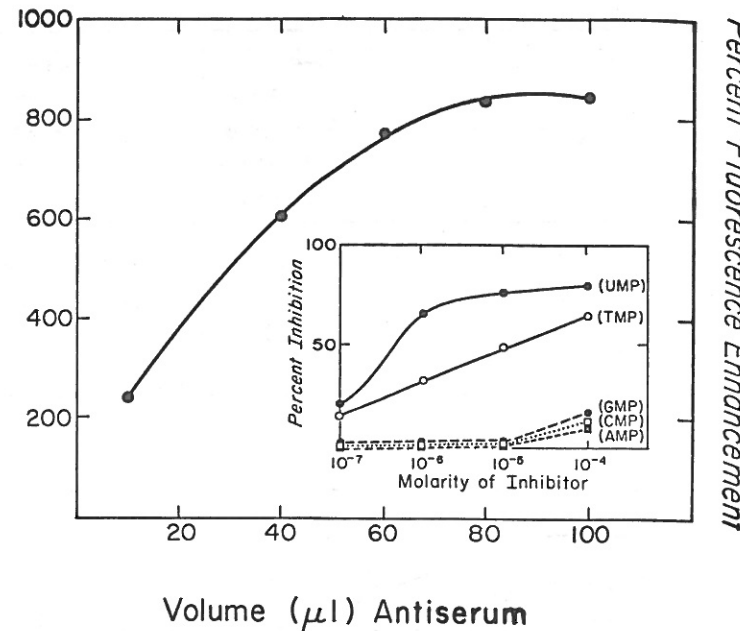
مشتقات مختلف نوکلئوتیدی و نفتالینی، اهمیت وجود گروه آمینه در ترکیبات نفتالینی و فسفات انتهایی در نوکلئوتید‌ها را در یک مزدوج سازی موفق ثابت نمود . پس از انکوپاسیون نوکلئوتیدهای فلورسان با سرم خالص نشده در مدت زمانهای مختلف، ثابت شد که کونژوگه حاصل در برابر آنزیم‌های موجود در سرم مقاوم است . پس از اتصال کونژوگه نوکلئوتیدی AmNS به پادتن همگن و اختصاصی علیه قسمت نوکلئوتیدی Φ_F افزایش قابل توجهی یافت (حدود ۲۵ تا ۵۰ برابر) . سرم طبیعی خرگوش، مایع آسیتی (Ascites)، آلبومین سرم خرگوش و گاو هیچگونه اثری در افزایش قدرت فلورسانس زایی کونژوگه‌های مختلف و یا AmNS نداشت که این خود اختصاصی بودن این روش را ثابت می‌کند . برای اثبات اختصاصات ایمنی شناختی واکنش بین نوکلئوتیدهای فلورسان و پادتن‌های همگن واکنشهای رقابتی با استفاده از نوکلئوتیدهای غیرفلورسان انجام گرفت . به عنوان مثال واکنش بین پادتن ضد UMP با کونژوگه AmNS-UMP در حضور AmNS-UMP کاملاً متوقف شد .

برای مطالعه حداقل فاصله، بین نوکلئوتید و AmNS و تأثیر آن بر واکنشهای ایمنی شناختی سه کونژوگه مختلف با مشتقات یوریدین و AmNS سنتر گردید که عبارت بودند از AmNS-UTP، AmNS-UDP، AmNS-UMP، AmNS-Spacer () منو، دی و تری فسفات انتهایی به عنوان فاصله (Spacer) بین نوکلئوزید و AmNS در نظر گرفته شد . مقایسه بین این کونژوگه‌ها (جدول ۴) نشان داد که قدرت فلورسانس زایی، Φ_{EF} و Φ_B این سه با یکدیگر متفاوت است . چنین مقایسه‌ای

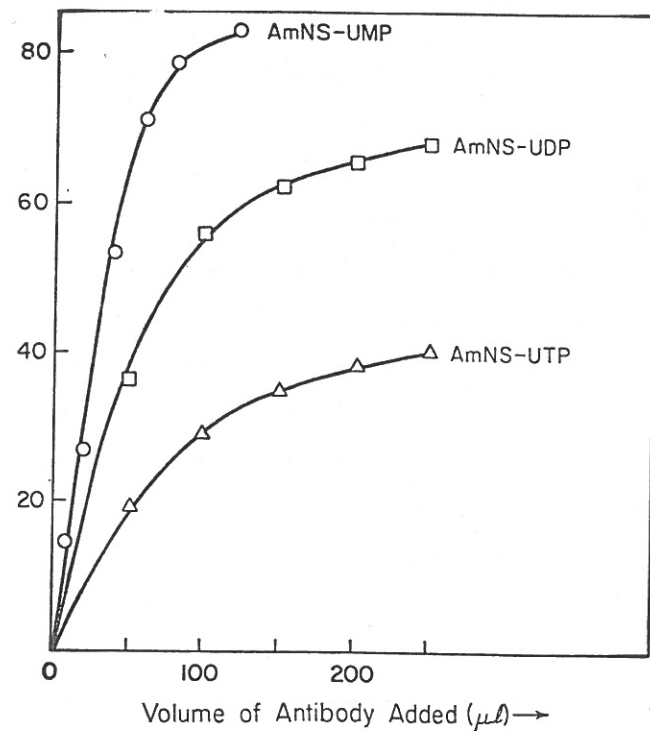
Relative Fluorescence Intensity



شکل ۴. مقایسه بین کونژوگه‌های حاصل از مشتقات یوریدین، منحنی A قدرت فلورسانس زایی $10^{-8} \times 10^{-6}$ میلی مولار AmNS-UMP و AmNS-UDP AmNS-UTP یک میلی لیتر با $\text{PBS}, \text{pH}=8$ ، منحنی B قدرت فلورسانس زایی $10^{-8} \times 10^{-6}$ میلی مولار AmNS-UMP را با $1/5$ -میلی گرم آنتی پادتن اختصاصی علیه UMP، و منحنی D قدرت فلورسانس زایی $10^{-8} \times 10^{-6}$ میلی مولار AmNS-UMP را با $1/5$ -میلی گرم پادتن اختصاصی علیه UMP نشان می‌دهد.



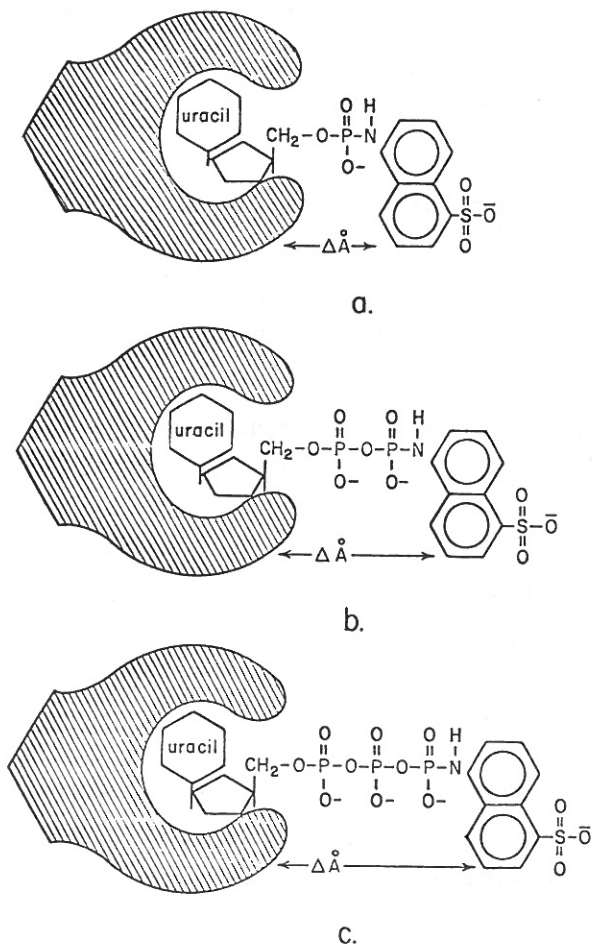
شکل ۳. عیار AmNS-UMP با پادتن اختصاصی علیه UMP، 6×10^{-6} میلی مولار AmNS-UMP به وسیله مقادیر فرازاینده‌ای از نوکلئوتیدهای غیرفلورسان (10^{-7} تا 10^{-4} مولار در واکنش رقابتی ممانعت گردید.



شکل ۵. عیار سه کونژوگه حاصل از ترکیب AmNS با مشتقات مختلف یوریدین $10^{-8} \times 10^{-6}$ میلی مولار از هر یک از سه کونژوگه (AmNS-UMP, AmNS-UDP و AmNS-UTP) با مقدار فرازاینده‌ای از IgG خالص شده که در خرگوش علیه UMP تولید شده بود عیار گردید.

Relative Fluorescence Intensity

Percent Fluorescence Enhancement

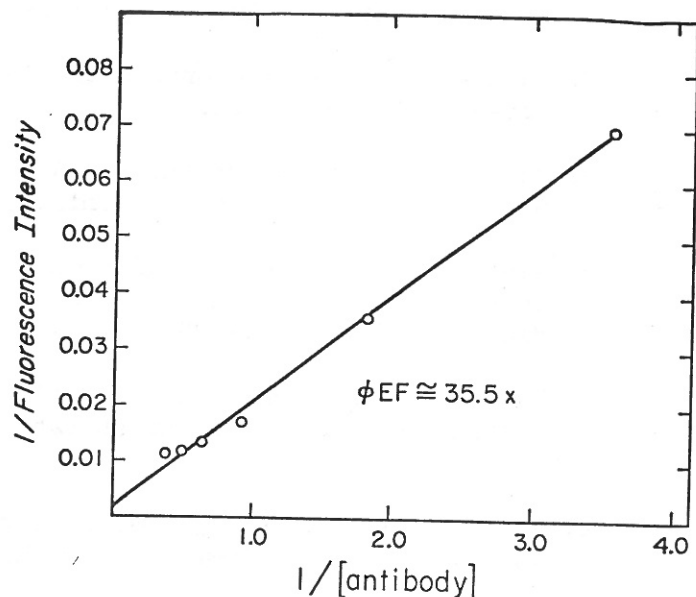


شکل ۷. طرح مقایسه‌ای کوتیزگه‌های حاصل از ترکیب بین مشتقات منو، دی و تری فسفات یوریدین با در حضور پادتن اختصاصی علیه UMP . این شکل اثر گروه فسفاته را به عنوان مادهٔ حد فاصل بین یوریدین و AmNS نشان می‌دهد . فاصله بین مادهٔ فلورسان (AmNS) و محل فعال active site مولکول پادتن در این شکل با مشخص شده است .

شکل a ، ترکیب AmNS-UMP را با پادتن ضد UMP نشان می‌دهد ،

شکل b ، ترکیب AmNS-UDP را با پادتن ضد UMP نشان می‌دهد ،

شکل c ، ترکیب AmNS-UTP را با پادتن ضد UMP نشان می‌دهد .



شکل ۸. عکس شدت فلورسانس زایی نسبت به عکس غلظت پادتن. $10^{-8} \times 6$ میلی مولار AmNS-UMP با مقادیر فزاینده‌ای ($2/8 \times 10^{-8}$ تا $2/8$ میلی‌گرم) از IgG خالص شده علیه UMP و آنقدر ادامه داده شده تا به حد اکثر بررسد (نقطهٔ اشیاع) . سپس برای هر یک از مراحل عبار عکس شدت فلورسانس زایی روی محور عمودی و عکس غلظت آنتی پادتن بر روی محور X ها نمایش داده شد . عکس نقطهٔ قطع محور Y (Intercept) نمایانگر Φ است که برای AmNS-UMP برابر $35/5$ محاسبه گردید . مشابه همین روش در مورد AmNS-UDP و AmNS-UTP نیز انجام گرفت و در مورد EF برابر 12 و 17 به ترتیب برای هر یک محاسبه گردید .

مراجع

1. Koffler D, Angello V, Thoburn R & Kunkel HG: Antibodies to polynucleotide in human sera. *J. Exp Med* 134: 294-312, 1971
2. Laskowski M: Venom exonuclease in: *Enzymes*, 3th ed PD Beyer (ed), Academic press, N.Y. 1970, vol. 4
3. Manak RC, Voss EW Jr: Anti-sDNA Antibodies purified from sera of human patients with SLE. *Immunochemistry* 15: 623-661, 1978
4. Nihel T, Cantoni GL: Studies on soluble ribonucleic acid, The action of snake venom phosphodiesterase on soluble ribonucleic acid in yeast J Biol Chem 338: 3991-3998, 1963
5. Pincus T: Immunochemical conditions effecting the measurement of DNA antibodies using ammonium sulfate precipitation. *Arth Rheum* 14: 623-630, 1971
6. Rezaei Poor Kardost R, Voss E,W,Jr: Fluorescent Nuclotides. application in a fluorescence immune assay, *Molec Immunol* 19:159-170, 1982
7. Stryer La, *Ann Rev Biochem* 417:819, 1978
8. Weber G, Teale FWJ: *Trans Faraday, Soc* 53:646, 1957
9. Yarburough L.R: *Biochem, Biophys, Res, Comon* 81:35, 1978
10. Yarbrough L R: Schlageek J G, Boughman M: Synthesis and properties of fluorescent nucleotide substrate for DNA polymerases. *J. Biol Chem* 254: 12069-12073, 1979